



Cryptonite, 2014. január 8.

# Kvantummechanika hatása a kriptográfiára

Bacsárdi László

NymE Simonyi Károly Kar, Informatikai és Gazdasági Intézet  
intézetigazgató, egyetemi docens

BME Mobil Kommunikáció és Kvantumtechnológiák Laboratórium,  
óráadó

4

Kvantuminformatika

Kvantumszámítógép

4

Shor-algoritmus

Ami még izgalmasabb

# National Security

In the News Polar vortex Liz Cheney Angela Merkel Green Bay Packers Jahi McMath CES



Koch-backed network raised \$400M in 2012



Liz Cheney to end her U.S. Senate bid



2014.01.02

## NSA seeks to build quantum computer that could crack most types of encryption

By Steven Rich and Barton Gellman, Published: January 2 E-mail the writers ↩

In room-size metal boxes secure against electromagnetic leaks, the National Security Agency is racing to build a computer that could break nearly every kind of encryption used to protect banking, medical, business and government records around the world.

According to documents provided by former NSA contractor Edward Snowden, the effort to build “a cryptologically useful quantum computer” — a machine exponentially faster than classical computers — is part of a \$79.7 million research program titled “Penetrating Hard Targets.” Much of the work is hosted under classified contracts at a [laboratory](#) in College Park, Md.

Kvantuminformatika

Kvantumszámítógép



Shor-algoritmus

Ami még izgalmasabb

III. Hugh Everett formulája:

$$\psi(x) \propto e^{-\frac{x^2}{0.0001}} + e^{-\frac{(x-100)^2}{0.0001}}$$

Heisenberg-féle határozatlansági reláció

$$\Delta X = \sqrt{\langle (X - \langle X \rangle)^2 \rangle}$$

$$\Delta P = \sqrt{\langle (P - \langle P \rangle)^2 \rangle}$$

$$\Delta X \Delta P \geq \frac{\hbar}{2}$$

Fourier-transzformált alak

$$\left( \int_{-\infty}^{\infty} x^2 |f(x)|^2 dx \right) \left( \int_{-\infty}^{\infty} \xi^2 |\hat{f}(\xi)|^2 d\xi \right) \geq \frac{\|f\|_2^4}{16\pi^2}$$

$$\left( \int_{-\infty}^{\infty} (x - x_0)^2 |f(x)|^2 dx \right) \left( \int_{-\infty}^{\infty} (\xi - \xi_0)^2 |\hat{f}(\xi)|^2 d\xi \right) \geq \frac{1}{16\pi^2}$$

Bohr-modell

$$L = n \frac{h}{2\pi}, \quad r = \frac{n^2 \hbar^2}{4\pi^2 k_e m e^2}$$

Rydberg-formula

$$R = \frac{k_e e^2}{2a_0 \hbar c}$$

Időfüggetlen Schrödinger-egyenlet

$$\left( -\frac{\hbar^2}{2m} \Delta + V(x, y, z) \hat{I} \right) |\psi\rangle = E |\psi\rangle,$$

$$\Delta = \frac{\partial^2}{\partial x^2} + \frac{\partial^2}{\partial y^2} + \frac{\partial^2}{\partial z^2}$$

Időfüggő Schrödinger-egyenlet

$$\hat{A}\psi = \lambda_A \psi$$

Robertson-Schrödinger reláció

$$\Delta_{\psi} A \Delta_{\psi} B \geq \sqrt{\frac{1}{4} |\langle [A, B] \rangle_{\psi}|^2 + \frac{1}{4} |\langle \{A - \langle A \rangle_{\psi}, B - \langle B \rangle_{\psi}\} \rangle_{\psi}|^2}$$

HEY, SCHRÖDINGER.  
WHAT'S IN THE BOX?

MY CAT.

OH. IS IT ALIVE  
OR DEAD?

YES.



# Szuperpozíció







# Szuperpozíció

$$|\varphi\rangle = a|0\rangle + b|1\rangle$$

$$a, b \in \mathbb{C}$$

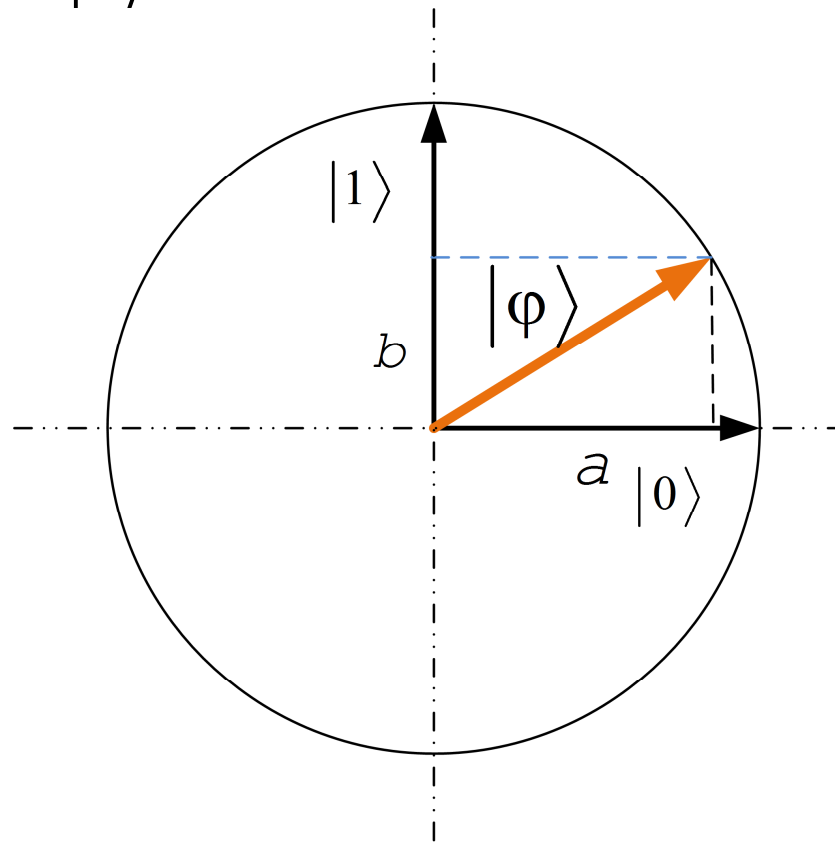
$$|a|^2 + |b|^2 = 1.$$

# Szuperpozíció

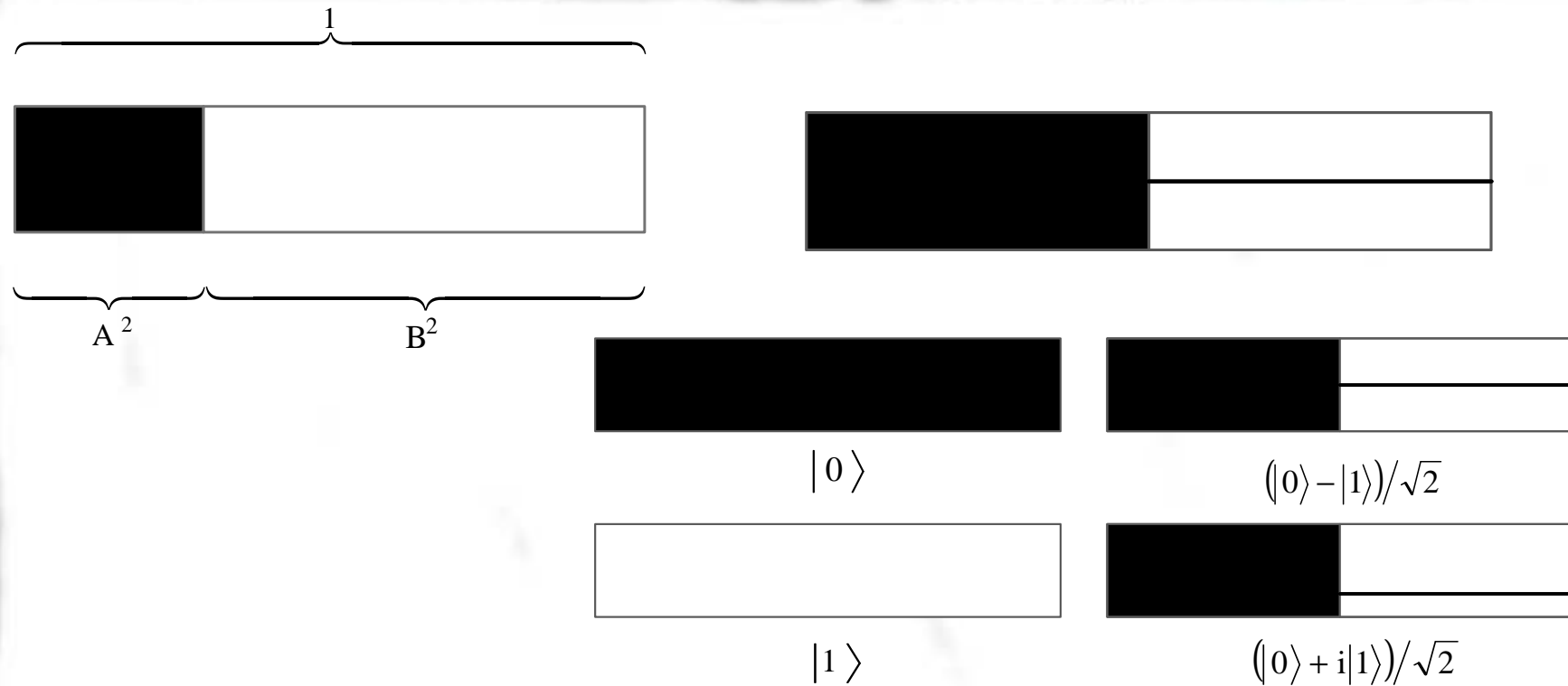
$$|\varphi\rangle = a|0\rangle + b|1\rangle$$

$$|a|^2 + |b|^2 = 1.$$

$$a, b \in \mathbb{C}$$



# Szuperpozíció





# A kvantummechanika posztulátumai (1)

## 1. Állapotleírás

Zárt fizikai rendszer aktuális állapota egy olyan  $|\varphi\rangle \in H$  állapotvektorral írható le, amely komplex együtthatókkal rendelkezik, egységnyi hosszú a  $H$  Hilbert-térben (egy komplex lineáris vektortérben, amelyben értelmezve van a belső szorzat).

## 2. A rendszer időbeli fejlődése

A zárt rendszer időbeli fejlődése unitér transzformációval írható le, amely csak a kezdő és végállapottól függ.

# A kvantummechanika posztulátumai (2)

## 3. A mérés

Legyen  $X$  a mérés lehetséges eredményeinek a halmaza.  
Egy mérés a mérési operátorok halmazával adható meg:

$$M = \{\mathbf{M}_x\}, x \in X, \mathbf{M}_x \in H$$

Ha a megméréndő rendszer állapota  $|\varphi\rangle$ , akkor annak a valószínűsége, hogy a mérés az  $x$  eredményt adja:

$$P(X | |\varphi\rangle) = \langle \varphi | \mathbf{M}_x^T \mathbf{M}_x | \varphi \rangle$$

A mérés után a rendszer állapota az alábbi lesz

$$|\varphi\rangle' = \frac{\mathbf{M}_x |\varphi\rangle}{\sqrt{p_x}}$$



# A kvantummechanika posztulátumai (3)

## 4. Összetett rendszer

Ha  $V$  és  $Y$  a két kvantumrendszerhez rendelt Hilbert-tér, akkor az ebből a két rendszerből álló összetett rendszerhez a

$W = V \otimes Y$  Hilbert-tér rendelhető.

# Alap építőkövek

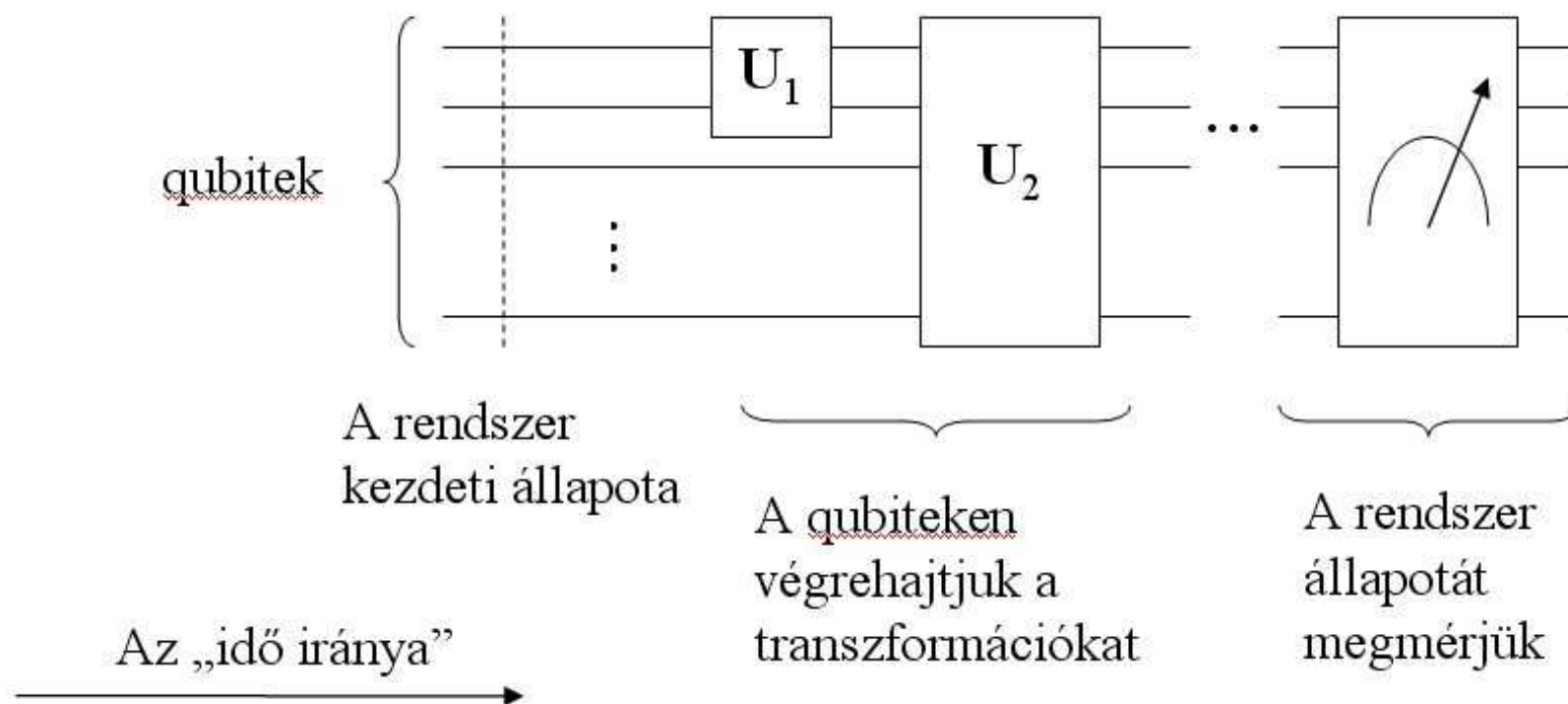
Különböző kvantumkapuk, amelyek a  $|\varphi\rangle = a|0\rangle + b|1\rangle$  bemenetre az alábbi kimeneti kvantumbitét állítják elő

$$X = \begin{bmatrix} 0 & 1 \\ 1 & 0 \end{bmatrix} \quad Y = \begin{bmatrix} 0 & -i \\ i & 0 \end{bmatrix} \quad Z = \begin{bmatrix} 1 & 0 \\ 0 & -1 \end{bmatrix} \quad H = \frac{1}{\sqrt{2}} \begin{bmatrix} 1 & 1 \\ 1 & -1 \end{bmatrix}$$

$$X|\varphi\rangle = b|0\rangle + a|1\rangle \quad Y|\varphi\rangle = -ib|0\rangle + ia|1\rangle \quad H|\varphi\rangle = \frac{a+b}{\sqrt{2}}|0\rangle + \frac{a-b}{\sqrt{2}}|1\rangle$$

$$Z|\varphi\rangle = a|0\rangle - b|1\rangle$$

# Kvantum-áramkör







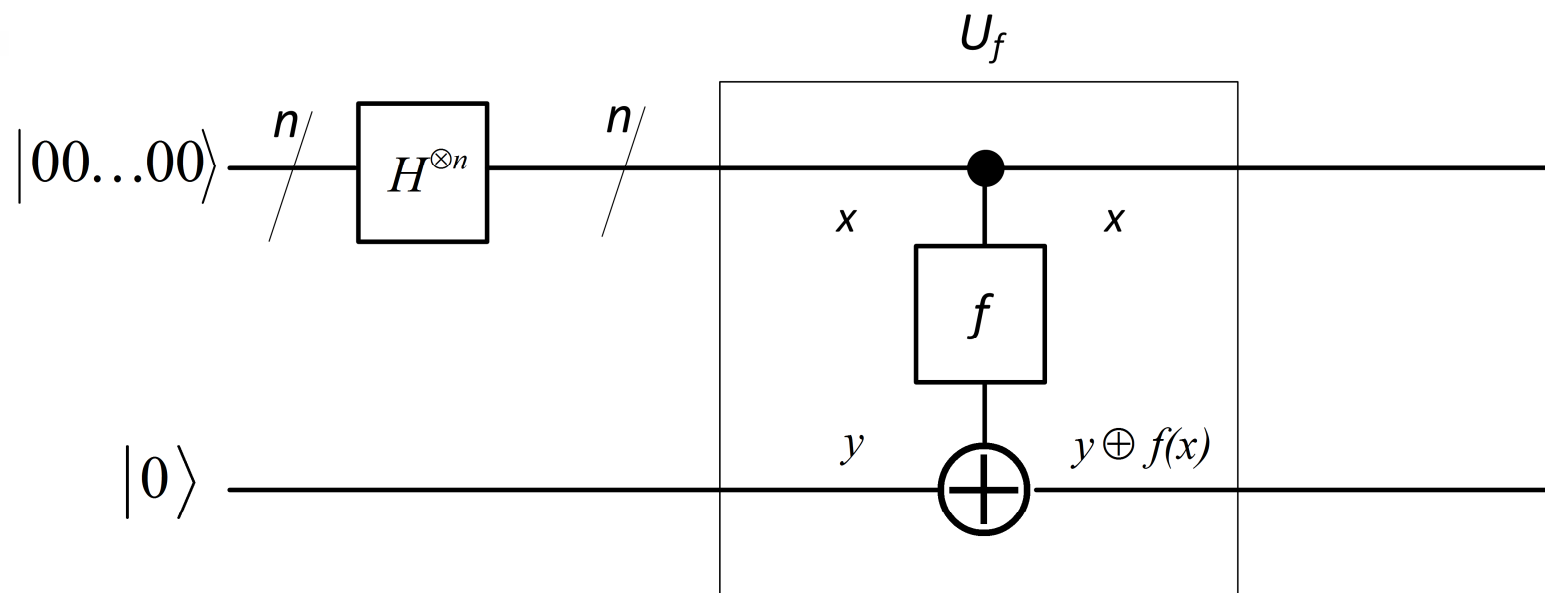
## Kvantumpárhuzamoság

$$|\varphi\rangle = a|0\rangle + b|1\rangle$$

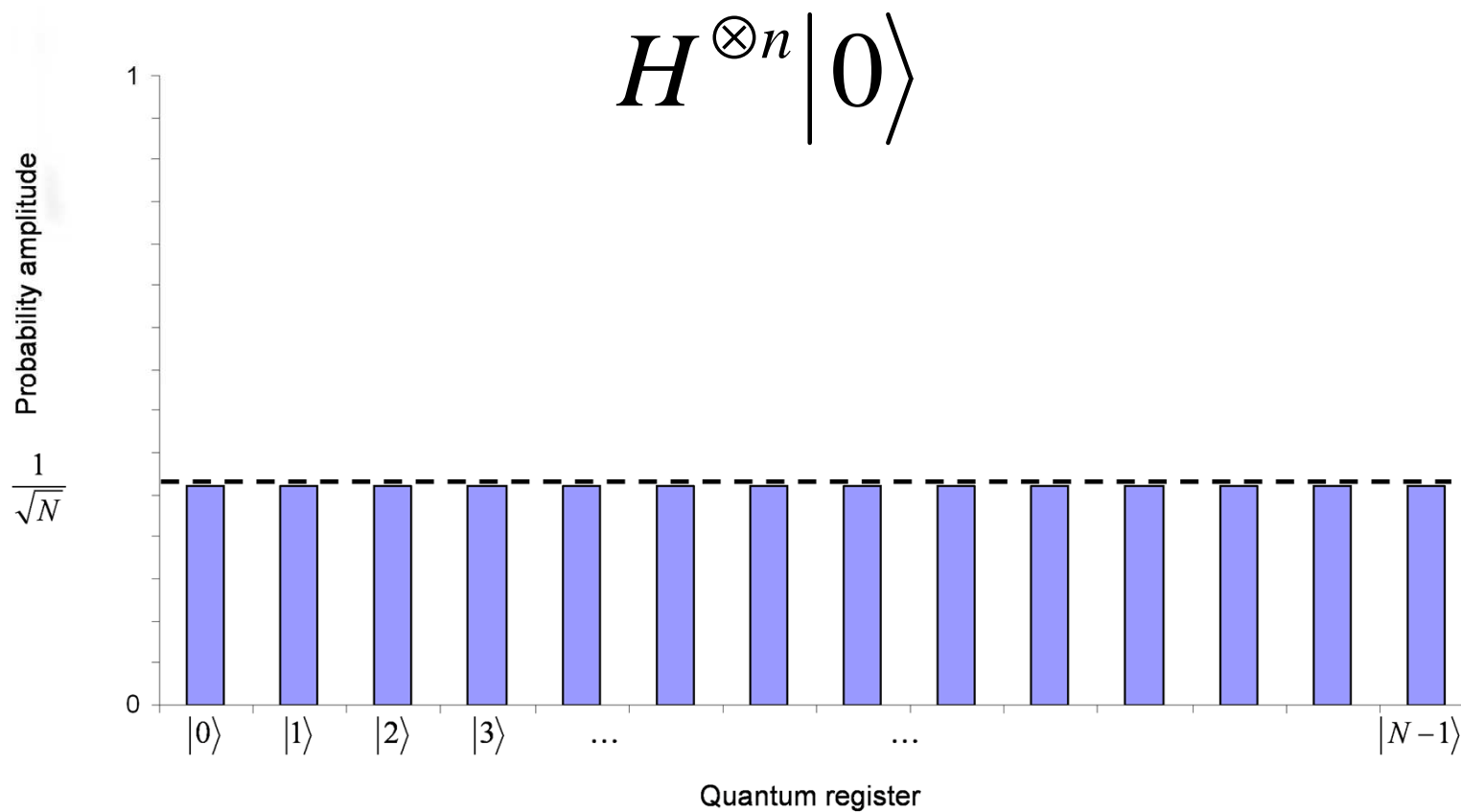
$$|\varphi\rangle = a|00\rangle + b|01\rangle + c|10\rangle + d|11\rangle$$

$$|\varphi\rangle = a|000\rangle + b|001\rangle + c|010\rangle + d|011\rangle \\ + e|100\rangle + f|101\rangle + g|110\rangle + h|111\rangle$$

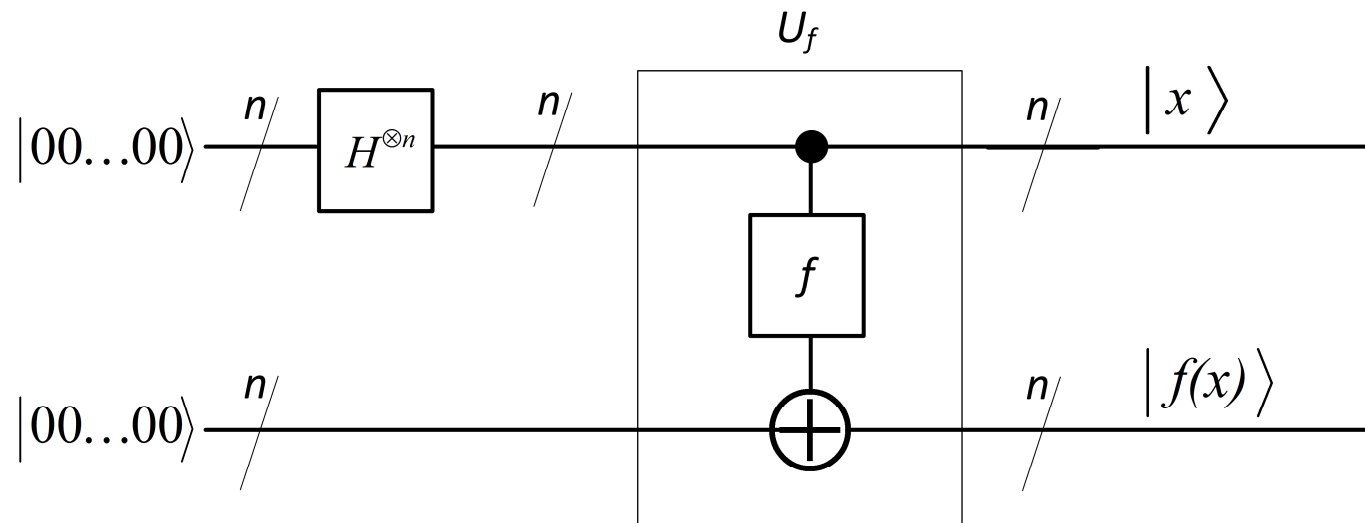
# Kvantumpárhuzamoság



# Kvantumpárhuzamoság



# Kvantumpárhuzamoság





# Kvantumpárhuzamosság

## Deutsch-Jozsa algoritmus

$$x \in \{0,1\}^n$$

$$f(x) : \{0,1\}^n \rightarrow \{0,1\}^1$$

Kiegyensúlyozott?

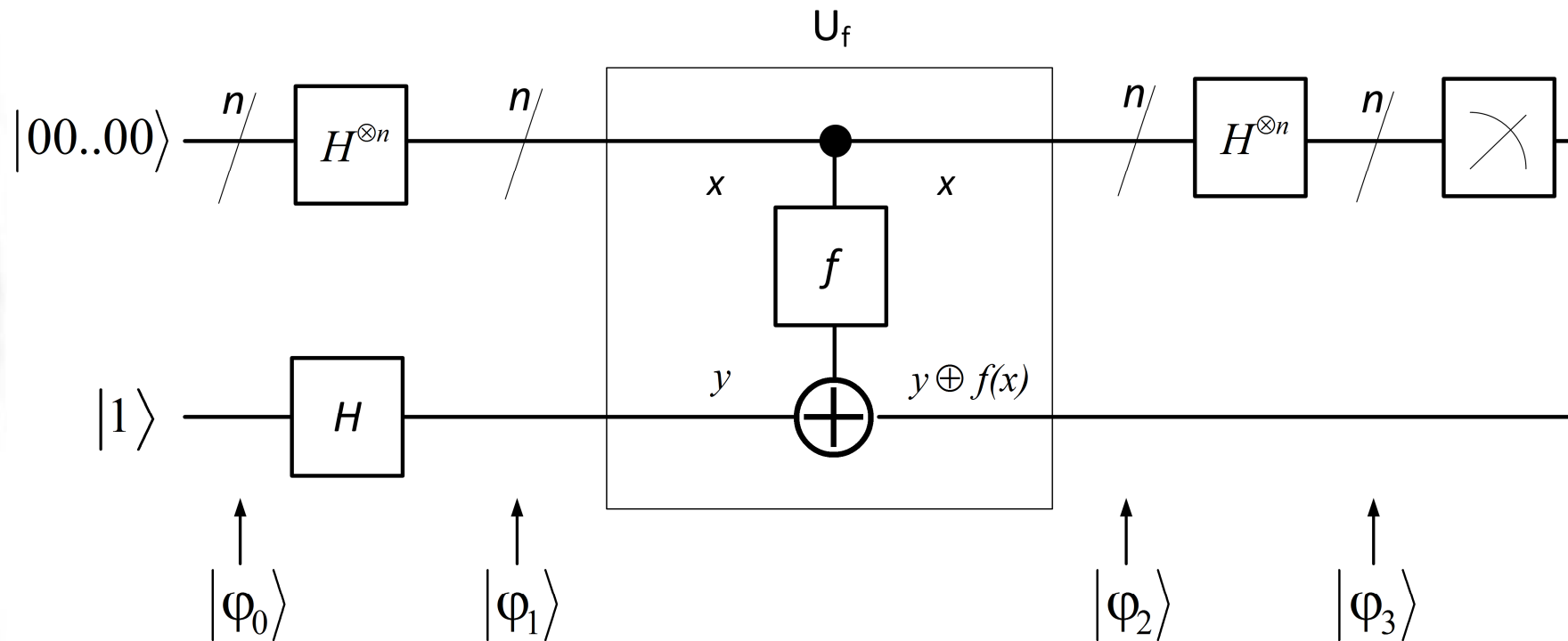
Konstans?

# Kvantum párhuzamosság

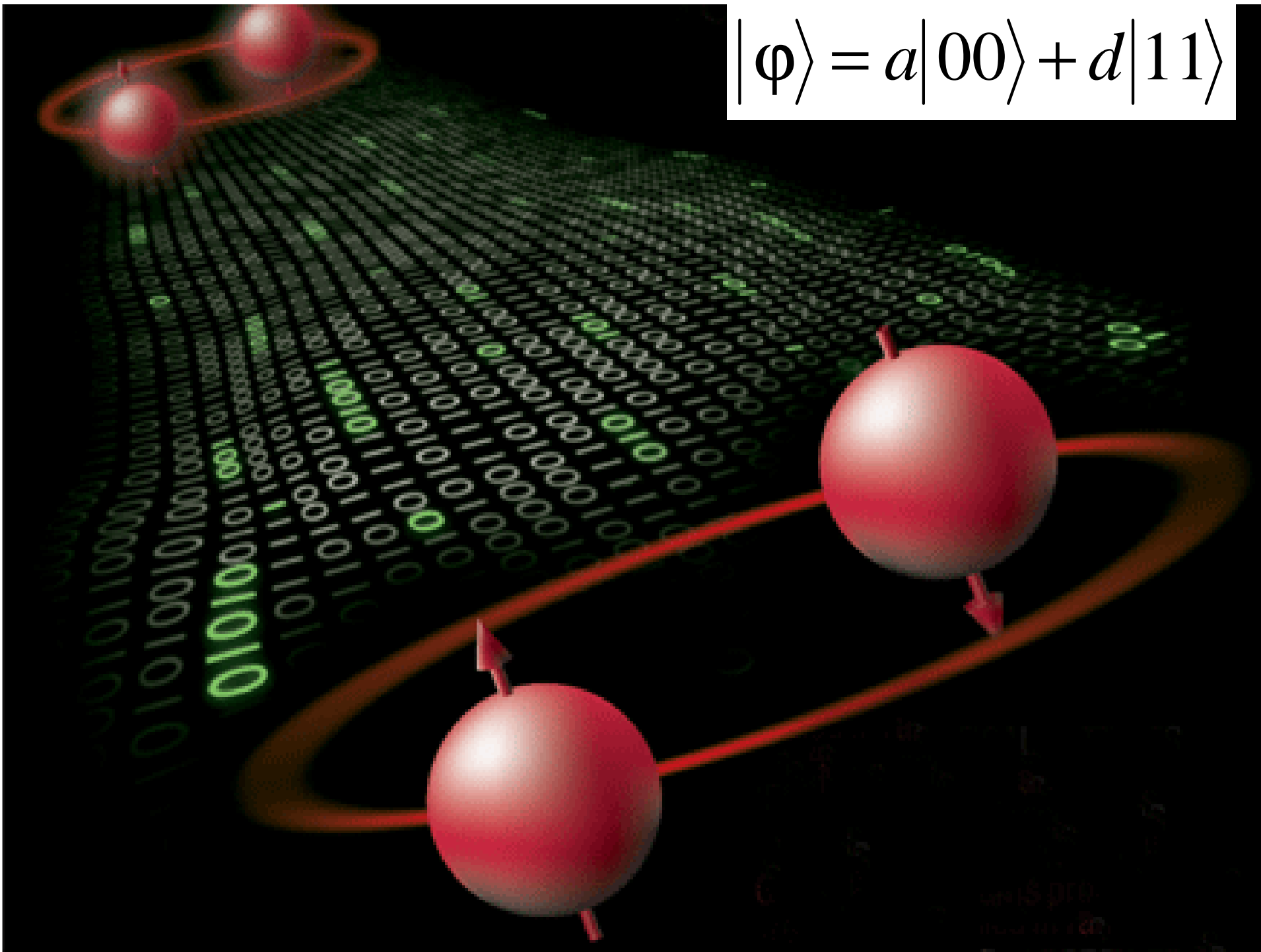
## Deutsch-Jozsa algoritmus

$$x \in \{0,1\}^n$$

$$f(x) : \{0,1\}^n \rightarrow \{0,1\}^1$$



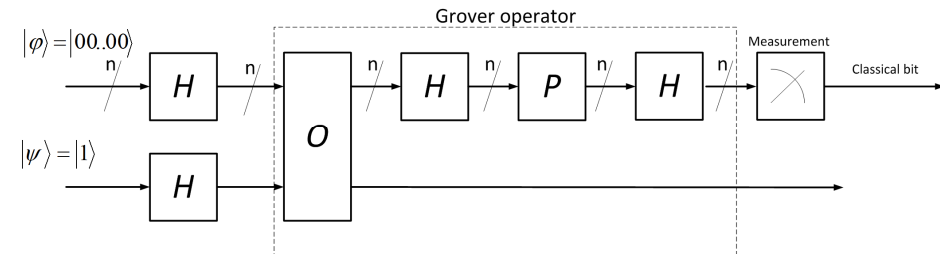
$$|\varphi\rangle = a|00\rangle + d|11\rangle$$



# Miért is jó ez nekünk?

- Algoritmusok és protokollok

- Teleportáció
- Szupersűrűségű tömörítés
- Kvantumpárhuzamosság
- ...



- Klasszikus problémák „jobb” megoldása

- Keresés adatbázisban
- Prímtényezőkre bontás
- Rendkeresés
- Szimmetrikus kulcsszétosztó protokollok
- Információelméleti alkalmazások



Nincs másolás

Dekoherencia

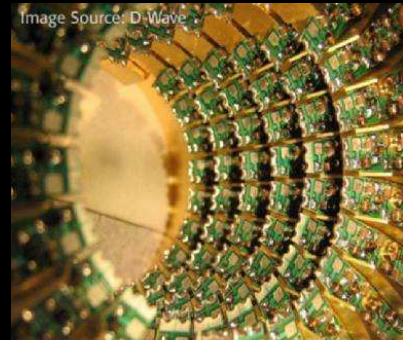
Rights Available from CartoonStock.com



@ Original Artist / Search ID: mshn197

Kvantuminformatika

Kvantumszámítógép



30 Qubit Computer  
**10 teraFLOPS**



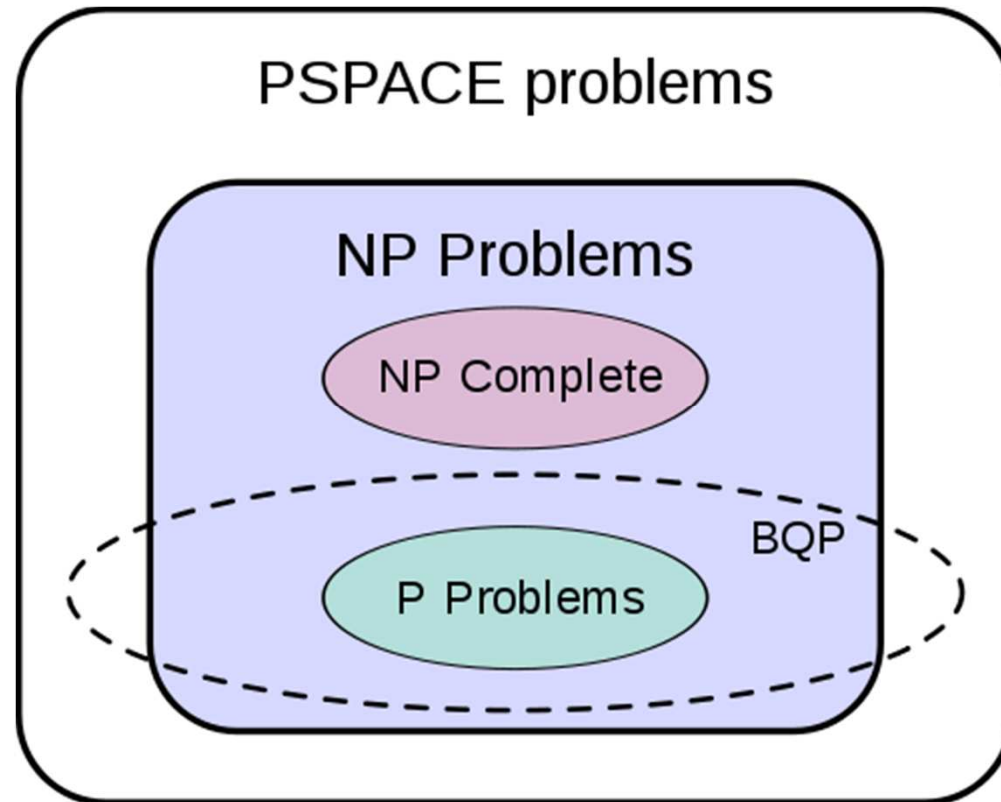
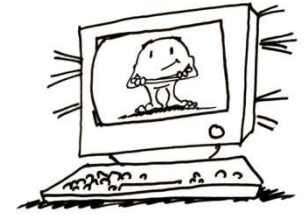
30 Bit Computer  
**~0.5 megaFLOPS**

**Quantum computers perform  
2 million times faster**

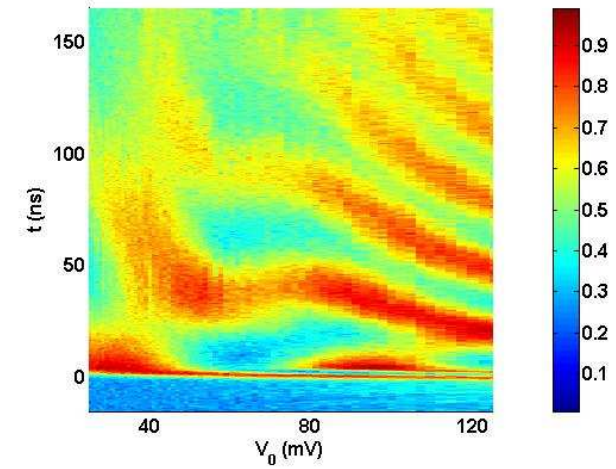
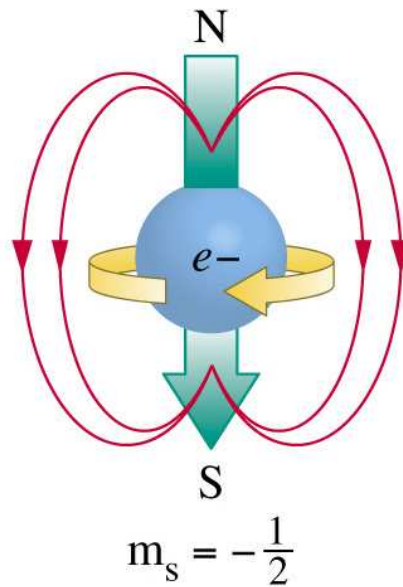
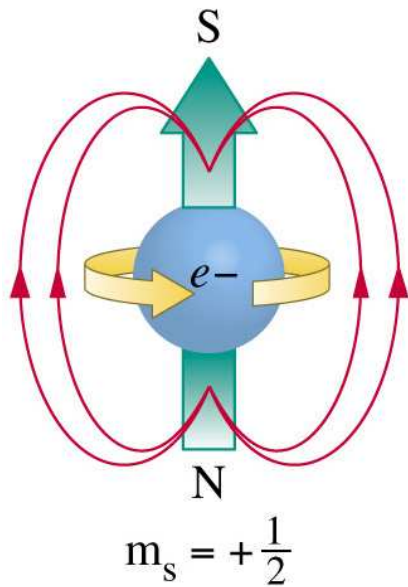
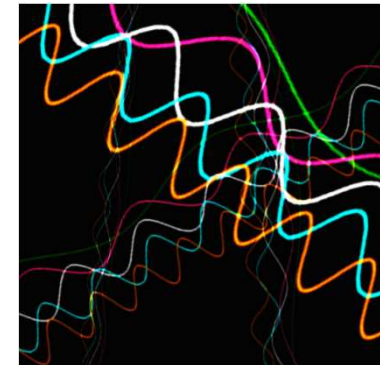
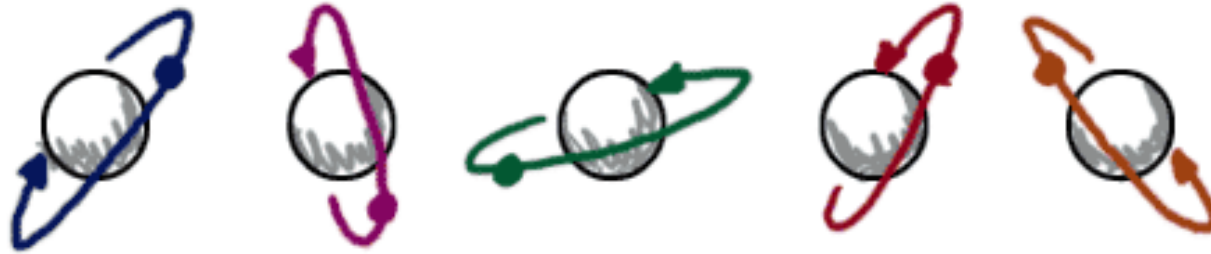
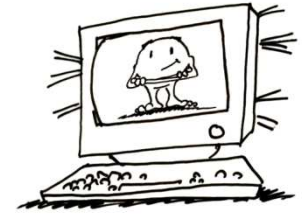


Shor-algoritmus

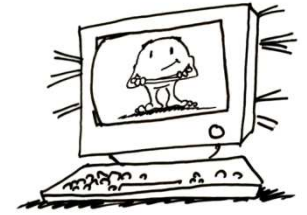
Ami még izgalmasabb



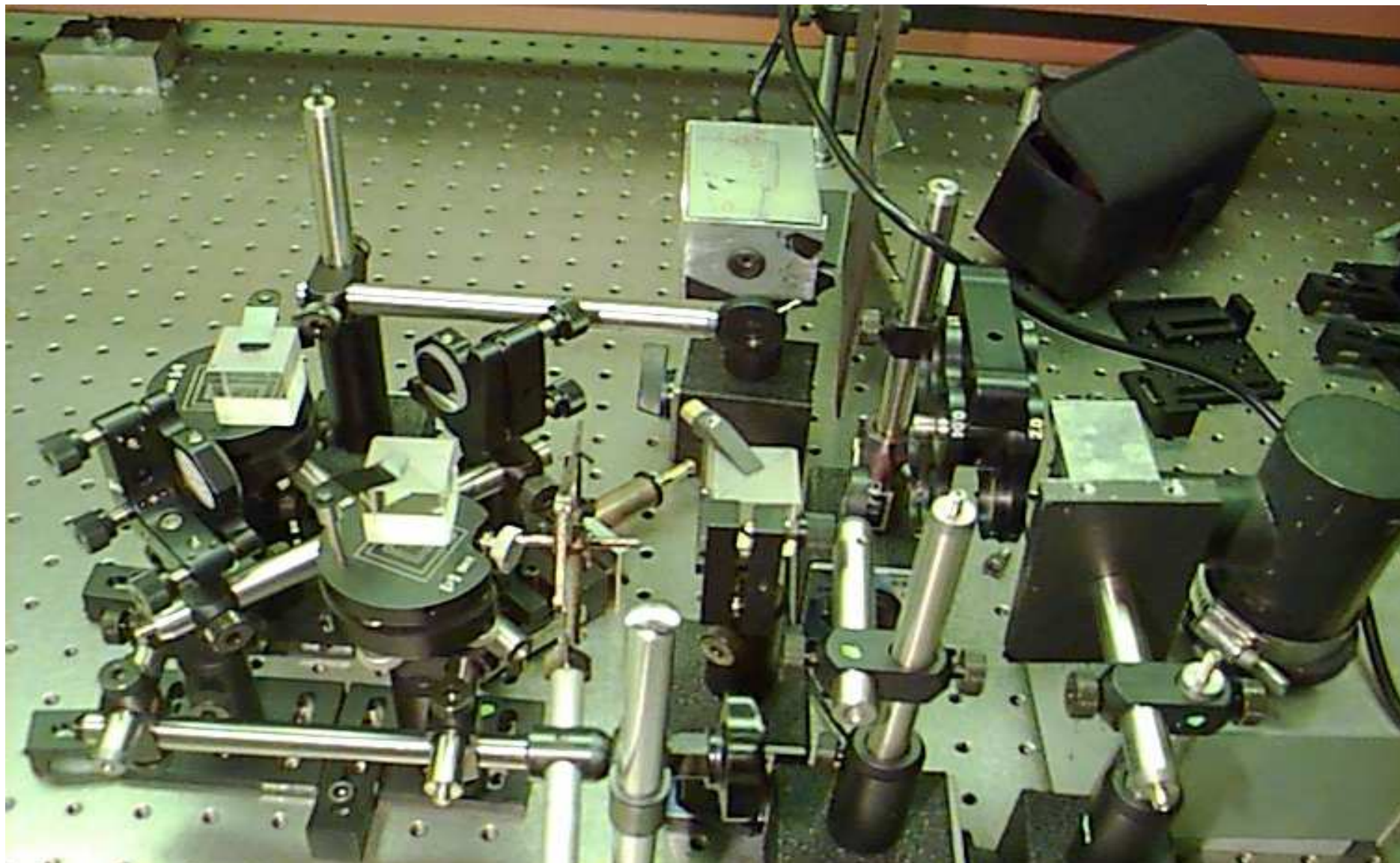
# Mi lehet kvantumbit?



# Kvantum eszközök (1)

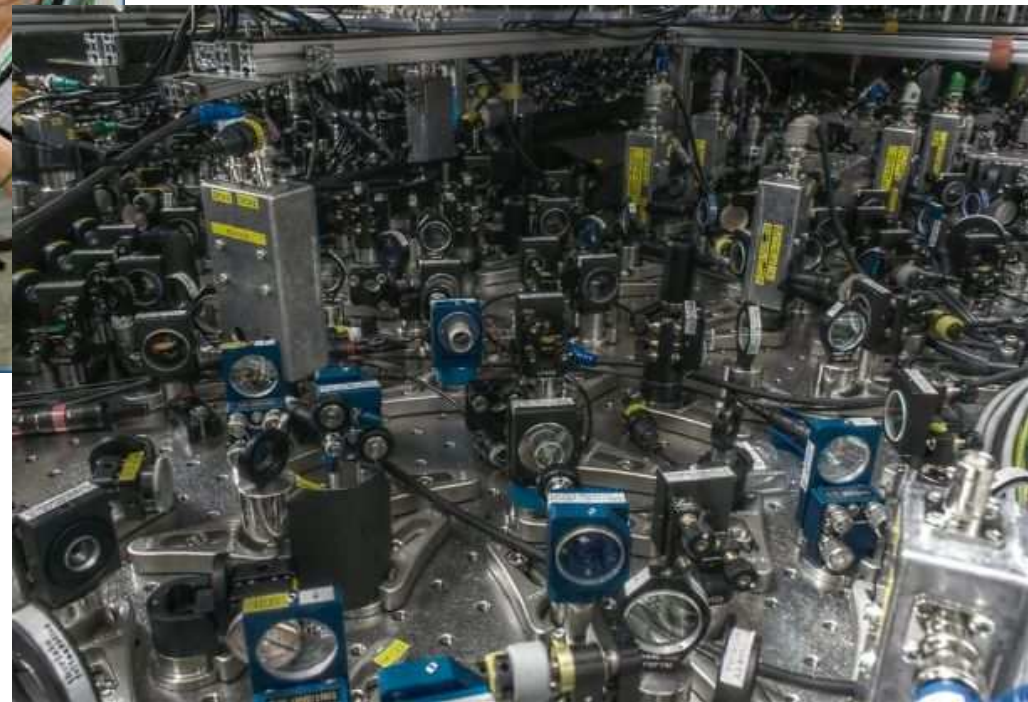
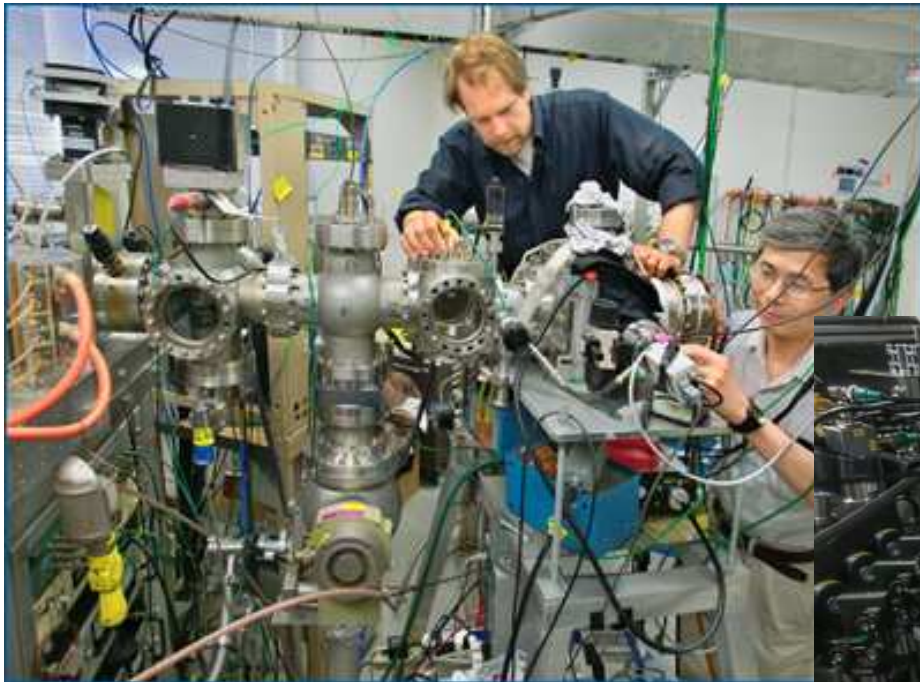
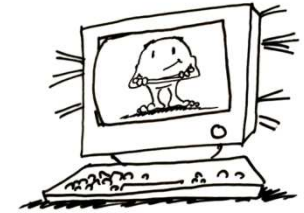


# Kvantum eszközök (2)

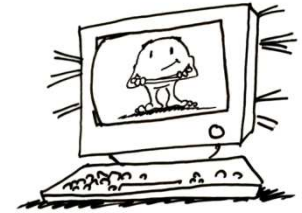




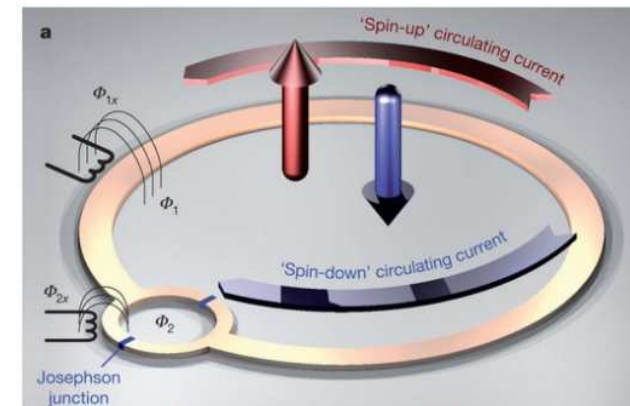
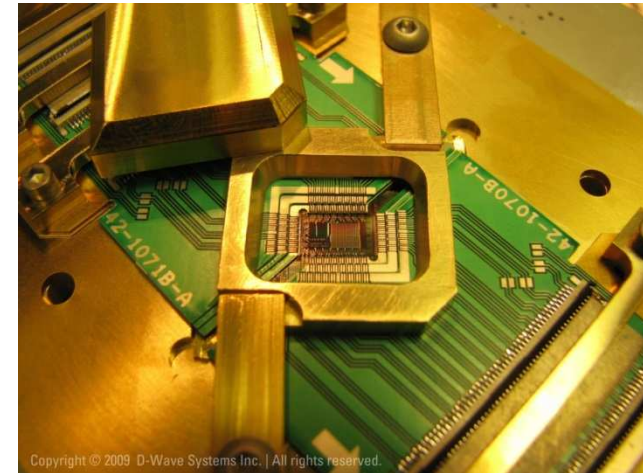
# Kvantum eszközök (3)

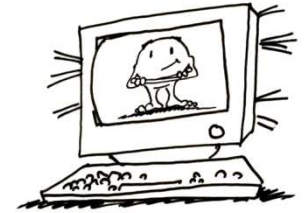


Fénykép: Roy Kaltschmidt, forrás: <http://www.lbl.gov/Science-Articles/Archive/sabl/2005/June/02-quantum-comp.htm>  
Forrás: [http://wikis.lib.ncsu.edu/index.php/Image:Quantum\\_Computer.jpg](http://wikis.lib.ncsu.edu/index.php/Image:Quantum_Computer.jpg)



- Fluxuskvantumokon alapuló adiabatikus rendszer
- 2007 Orion Systems, 16 kvantumbites gép bemutatója három alkalmazással:
  - Adatbázis keresés
  - Ülésrend tervezés
  - Sudoku fejtés
- 2009 Neural Information Processing Systems Conference
  - Képfelismerő rendszer betanítása

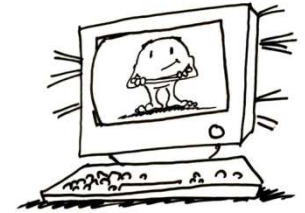




- 2011, D-Wave One
  - 128 qubit
  - 10 000 000 \$
- 2013, D-Wave Two
  - 512 qubit



D:wave  
The Quantum Computing Company™



QUANTUM ARTIFICIAL INTELLIGENCE LABORATORY



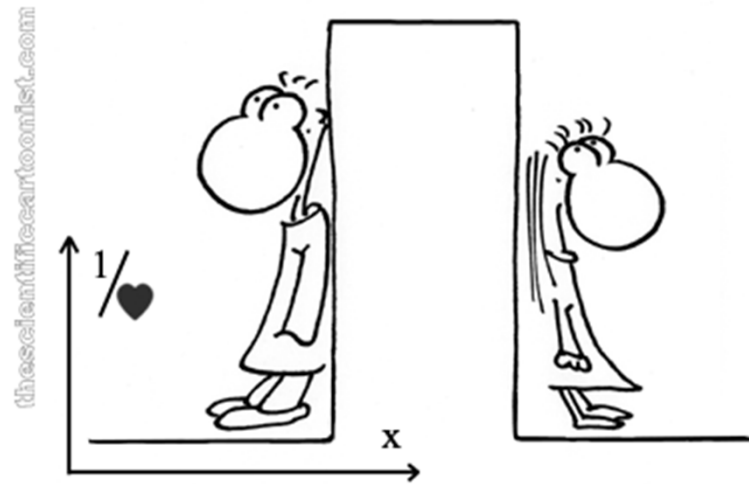
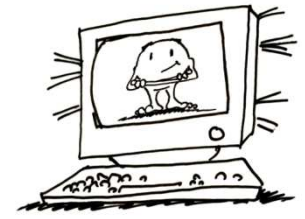
# Google & NASA's Quantum Computer

Q&A

*So...that's a Quantum Computer?*

# Videó

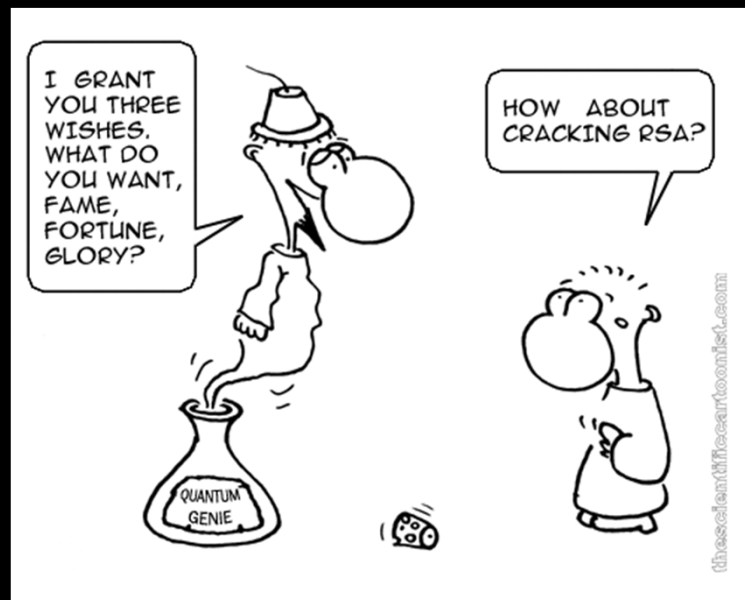




Waiting for the tunnel effect.

Kvantuminformatika

Kvantumszámítógép



Shor-algoritmus

Ami még izgalmasabb



# RSA törése

$$O(\log^3(N))$$

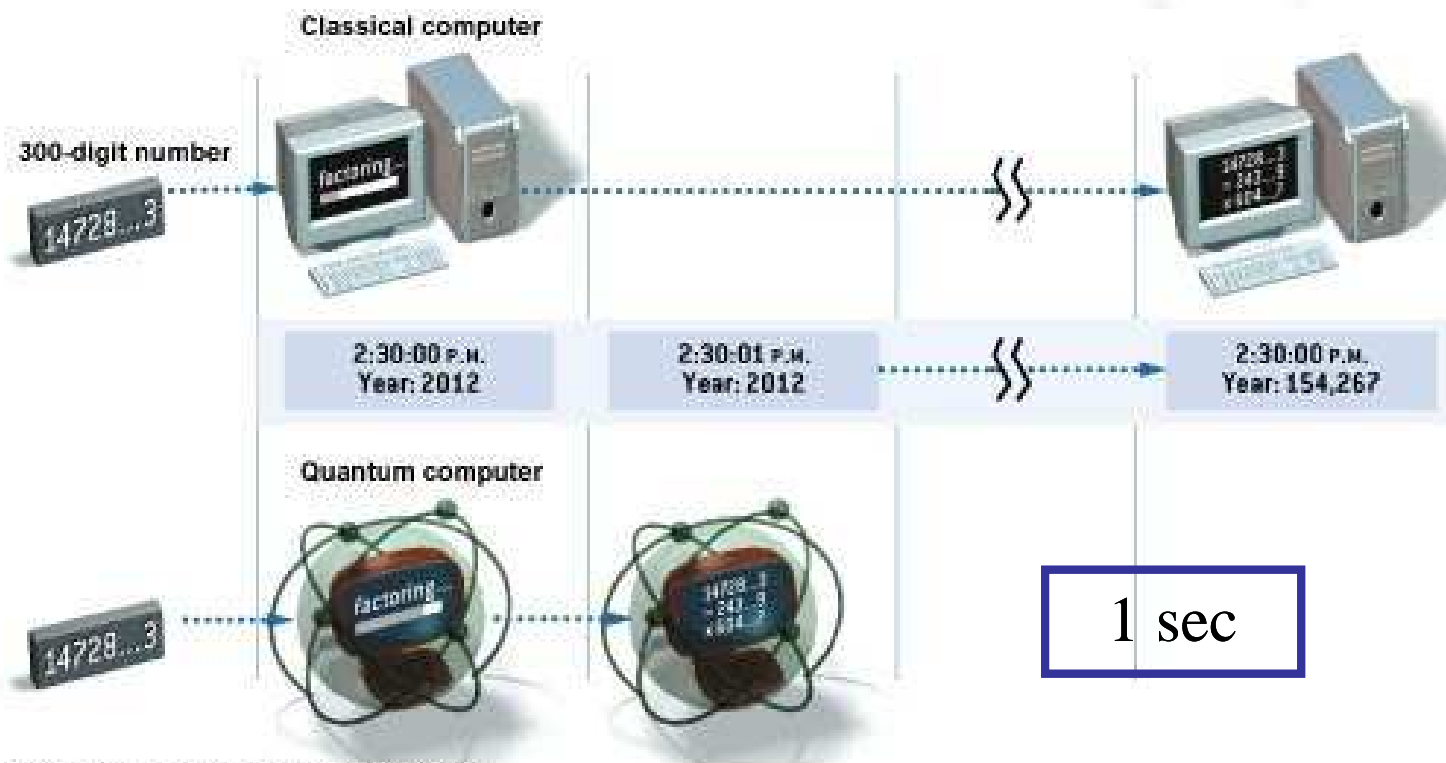
152 000 év



# Shor-algoritmus és az RSA feltörése

$$O(\log^3(N))$$

152 000 év



BRYAN CHRISTIE DESIGN



# Shor-algoritmus

- Egy olyan szám megtalálását, amelynek a felbontandó számmal van közös osztója, átfogalmazhatjuk egy függvény periódusának meghatározására
- Klasszikus rendszerben nehéz feladat, viszont a perióduskeresésre gyors kvantumalgoritmust lehet találni
- Amíg a prímfaktorizáció klasszikus rendszerekben exponenciális, addig kvantumos rendszerekben négyzetes növekményű végrehajtási időt igényel

$$O(d^3(N))$$

Részletes leírás: [http://www.mcl.hu/quantum//foliak/kvantum\\_primfakt1.pdf](http://www.mcl.hu/quantum//foliak/kvantum_primfakt1.pdf)



# Rendkeresés

Vegyünk két pozitív egész számot  $x < N$ , amelyek relatív prímek, vagyis  $\text{Inko}(x, N) = 1$ .

Az  $x$  multiplikatív rendjét modulo  $N$  definiáljuk úgy, mint a legkisebb  $r$  számot, amelyre igaz, hogy

$$x^r \bmod N = 1 \text{ és } 1 < r < N$$

*Rend szoros kapcsolatban a periodicitással:*

$$f(z) = x^z \bmod N$$

$$f(z+r) = x^{z+r} \bmod N = (x^z \bmod N)(x^r \bmod N) \bmod N = f(z)$$

A close-up, top-down view of a spiral-bound notebook. The metal spiral binding is visible at the top, curving across the frame. The pages are white and mostly blank, with some faint, illegible markings. The lighting is bright, creating highlights on the metal and the edges of the pages.

Rendkeresés

A



## Rendkeresés

Ha  $A$  páros, 2-vel osztjuk, amíg páratlan  $B_1$

$x_1 < B_1$  véletlenszerűen választott egész

$\text{Inko}(x_1, B_1) = b_1$  és nem relatív prím  $x_1, B_1$

$$B_2 = B_1 / b_1$$

ismételve  $n$ -szer, amíg  $b_1=1$ , ekkor  $b_n=N$

# Rendkeresés

Tegyük fel, hogy az  $r \equiv x \pmod N$  multiplikatív rend páros:  $y \equiv x^{r/2}$

$$y \pmod N = 1$$

$$(y^2 - 1) \pmod N = 0$$

$$(y - 1)(y + 1) \pmod N = 0$$

$$\left( (y - 1) \pmod N \right)_{b_{+1}} \left( (y + 1) \pmod N \right)_{b_{-1}} \pmod N = 0 \quad 0 \leq b_{+1}, b_{-1} < N$$

$$c_{+1} \equiv \text{luko}(b_{+1}, N), c_{-1} \equiv \text{luko}(b_{-1}, N)$$



# Rendkeresés

$$\left( \underset{b_{+1}}{(y-1) \bmod N} \right) \left( \underset{b_{-1}}{(y+1) \bmod N} \right) \bmod N = 0$$

csak három módon

$$b_{+1} = 0, \text{ ekkor } c_{+1} = N, b_{-1} = N - 2, c_{-1} = 1$$

$$b_{-1} = 0, \text{ ekkor } c_{-1} = N, b_{+1} = 2, c_{+1} = 1$$

$$b_{+1} b_{-1} = kN, 0 < k < N \Rightarrow 0 < b_{-1} < b_{+1} < N$$

Egyik sem osztója  $N$ -nek, de kell, hogy legyen közös osztója a  $b_{+1} b_{-1}$  szorzatnak  $N$ -nel:  $c_{-1}, c_{+1}$

Ha  $x$ -re nem teljesül, hogy  $0 \leq c_{+1}, c_{-1} < N$

akkor új  $x$ -et kell választani, hogy a többi prímtényezőt is megtaláljuk.





Honnan tudjuk az  $r$  rendet?

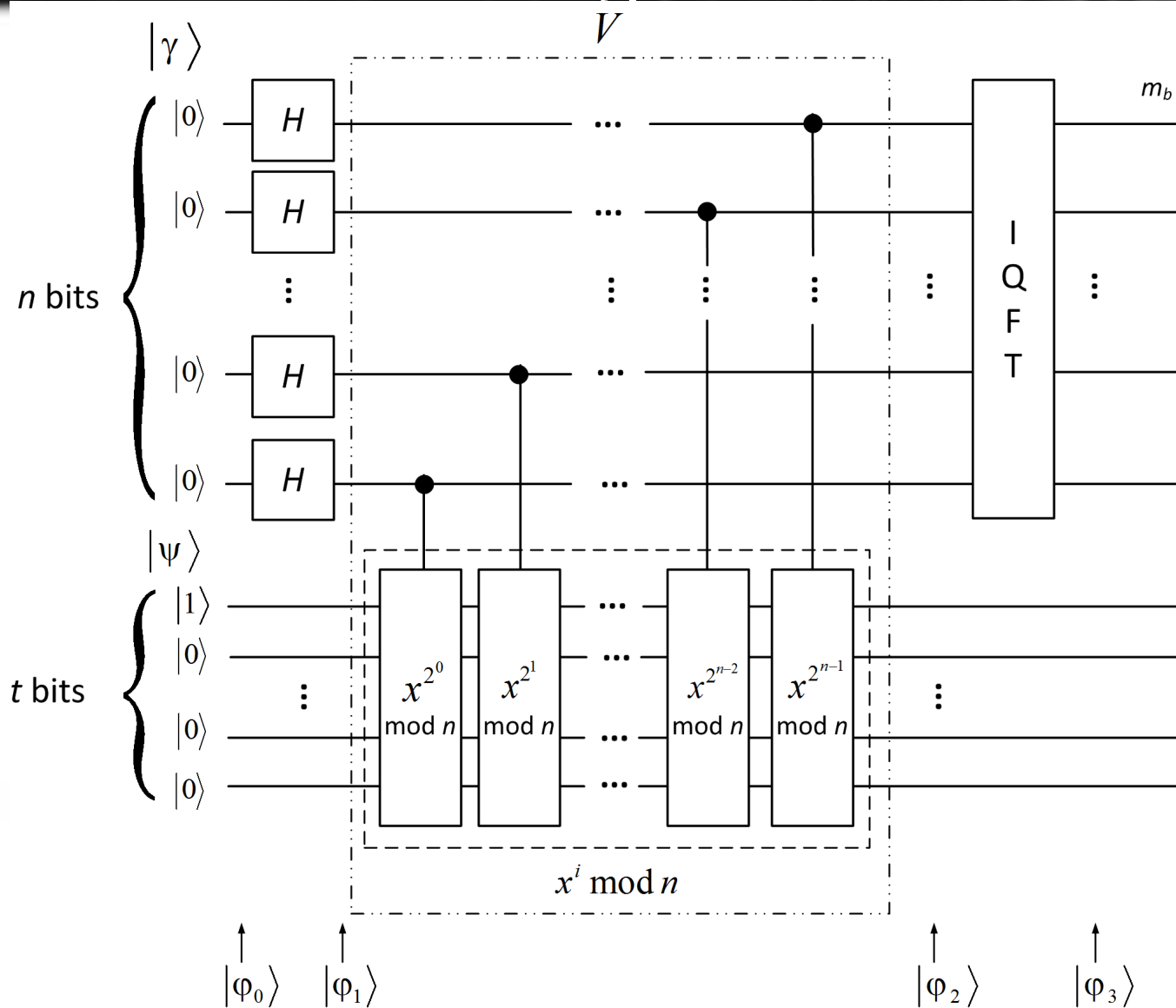
Válasz: Shor-algoritmus



# Shor-algoritmus

1. Kiszámolni az összes:  $x^k \bmod N, 0 \leq k < N$   
tárolni a  $k$  értékkel együtt két kvantumregiszterben
2. Erősíteni a kívánt állapotot:  $|x^k \bmod N = 1\rangle$
3. Mérés a második regiszteren. Nagy valószínűséggel a keresett  $r$  rendet adja vissza

# Shor-algorithmus



# Shor-algoritmus (klasszikus kód – 1)

```
qcl> shor(15)
: chosen random x = 4
: measured zero in 1st register. trying again ...
: chosen random x = 11
: measured 128 , approximation for 0.500000 is 1 / 2
: possible period is 2
:  $11^1 + 1 \bmod 15 = 12$  ,  $11^1 - 1 \bmod 15 = 10$ 
:  $15 = 5 * 3$ 
```

# Shor-algoritmus (klasszikus kód – 2)

```
procedure shor(int number) {
  int width=ceil(log(number,2)); // size of number in bits
  qureg reg1[2*width]; // first register
  qureg reg2[width]; // second register
  int qmax=2^width;
  int factor; // found factor
  int m; real c; // measured value
  int x; // base of exponentiation
  int p; int q; // rational approximation p/q
  int a; int b; // possible factors of number
  int e; // e=x^(q/2) mod number

  if number mod 2 == 0 { exit "number must be odd"; }
  if testprime(number) { exit "prime number"; }
  if testprimepower(number) { exit "prime power"; };
```

# Shor-algoritmus (klasszikus kód – 3)

```
{
  { // generate random base
    x=floor(random()*(number-3))+2;
  } until gcd(x,number)==1;
  print "chosen random x =",x;
  Mix(reg1); // Hadamard transform
  expn(x,number,reg1,reg2); // modular exponentiation
  measure reg2; // measure 2nd register
  dft(reg1); // Fourier transform
  measure reg1,m; // measure 1st register
  reset; // clear local registers
}
```

# Shor-algoritmus (klasszikus kód – 4)

```
if m==0 { // failed if measured 0
    print "measured zero in 1st register. trying again ...";
} else {
    c=m*0.5^(2*width); // fixed point form of m
    q=denominator(c,qmax); // find rational approximation
    p=floor(q*m*c+0.5);
    print "measured",m,", approximation for",c,"is",p,"/",q;
    if q mod 2==1 and 2*q<qmax { // odd q ? try expanding p/q
        print "odd denominator, expanding by 2";
        p=2*p; q=2*q;
    }
    if q mod 2==1 { // failed if odd q
        print "odd period. trying again ...";
    } else {
        print "possible period is",q;
        e=powmod(x,q/2,number); // calculate candidates for
        a=(e+1) mod number; // possible common factors
        b=(e+number-1) mod number; // with number
        print x,"^",q/2,"+ 1 mod",number,"=",a,"",
            x,"^",q/2,"- 1 mod",number,"=",b;
        factor=max(gcd(number,a),gcd(number,b));
    } }
} until factor>1 and factor<number;
print number,"=",factor,"*",number/factor; }
```



15


21

143

*Martín-López, Enrique et al. „Experimental realization of Shor's quantum factoring algorithm using qubit recycling”,  
Nature Photonics 6, 773–776, (2012)*

*Nanyang Xu, Jing Zhu, Dawei Lu, Xianyi Zhou, Xinhua Peng, and Jiangfeng Du, Quantum Factorization of 143 on a  
Dipolar-Coupling Nuclear Magnetic Resonance System, Phys. Rev. Lett. 108, 130501 (2012).*





# Post-quantum

- lattice problems
- closest vector problem
- combinatoric group theory
- solution of multi-variate quadratic systems over finite fields
  
- lattice based signatures
- code based signatures (Courtois, Finiasz, and Sendrier)
- signatures from Multi-Variate Quadratic Systems
- Okamoto et al.: public-key systems that use quantum computers in the key generation process.

*K. Tanaka und S.Uchiyama T.Okamoto, Quantum public key cryptosystems, Proc. Of CRYPTO 2000, LNCS 1880 (2000), 147–165, SpringerVerlag.*

*Johannes Buchmann et al., Post-Quantum Signatures, 2004*

Kvantuminformatika

Kvantumszámítógép



Shor-algoritmus

Ami még izgalmasabb

# Teleportálás

1993: elmélet

1998: sikeres kísérlet

2004: 600 méter

2012: 97 km (Kína)

2012: 143 km (Kanári-szigetek)

*C. H. Bennett, G. Brassard, C. Crépeau, R. Jozsa, A. Peres, W. K. Wootters, Teleporting an Unknown Quantum State via Dual Classical and Einstein-Podolsky-Rosen Channels, Phys. Rev. Lett. 70, 1895-1899 (1993)*

*Juan Yin et. al, Quantum teleportation and entanglement distribution over 100-kilometre free-space channels, Nature 488 185-188 (2012)*

*Ma, X. S.; Herbst, T.; Scheidl, T.; Wang, D.; Kropatschek, S.; Naylor, W.; Wittmann, B.; Mech, A. et al. (2012). "Quantum teleportation over 143 kilometres using active feed-forward". Nature 489 (7415): 269-273*

*C. Nölleke, A. Neuzner, A. Reiserer, C. Hahn, G. Rempe, S. Ritter}, Efficient Teleportation Between Remote Single-Atom Quantum Memories, Phys. Rev. Lett. 110, 140403 (2013)*

# Kvantum alapú kulcsszétosztás (QKD)

E91

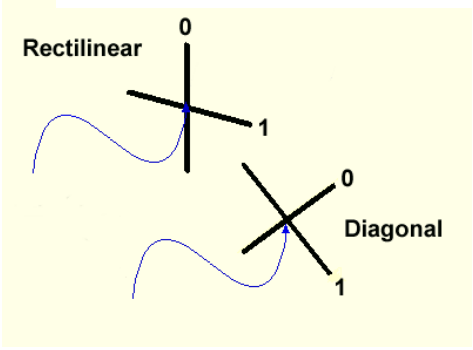
BB84

B92

S09

*Bacsardi, L.; Kiss, A.; Galambos, M.; Imre, S., "Examining quantum key distribution protocols in laser based satellite communications," Communication, Networks and Satellite (ComNetSat), 2012 IEEE International Conference on , vol., no., pp.187-91, 12-14 July 2012*

# BB84 protokoll

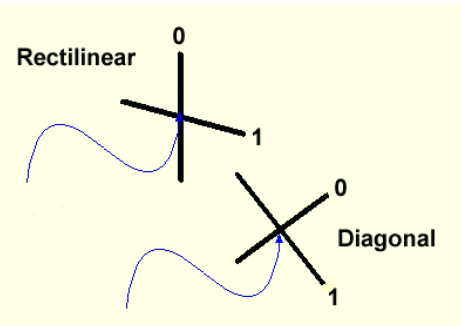
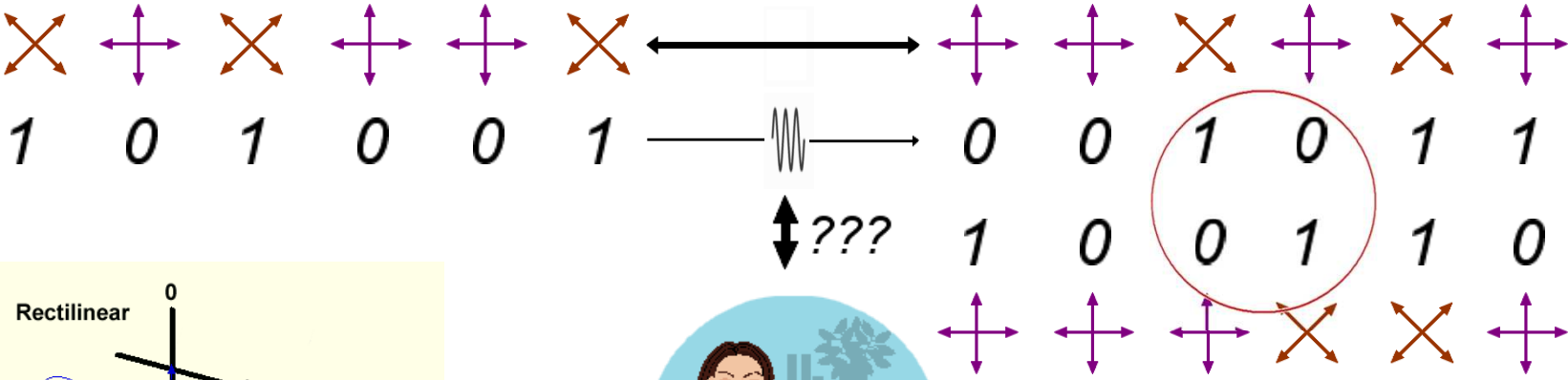
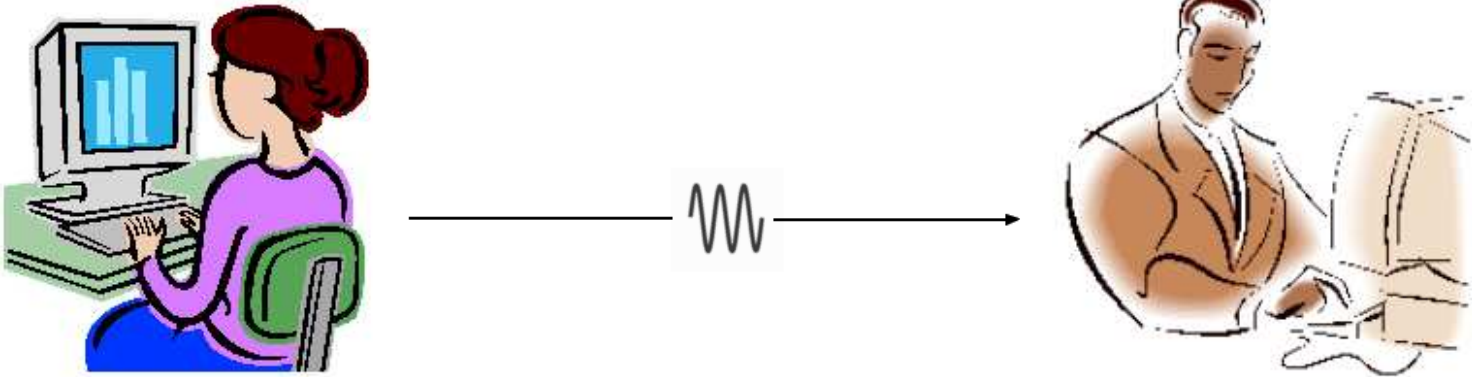


Alice's bit	0	1	1	0	1	0	0	1
Alice's basis	+	+	X	+	X	X	X	+
Alice's polarization	↑	→	↖	↑	↖	↗	↗	→
Bob's basis	+	X	X	X	+	X	+	+
Bob's measurement	↑	↗	↖	↗	→	↗	→	→
Public discussion								
Shared Secret key	0		1			0		1

<http://www.cse.wustl.edu/~jain/cse571-07/ftp/quantum/index.html>  
 Charles H. Bennett, Gilles Brassard, 'Quantum Cryptography: Public Key Distribution and Coin Tossing', International Conference on Computers, Systems & Signal Processing, Bangalore, India (December 10-12, 1984)

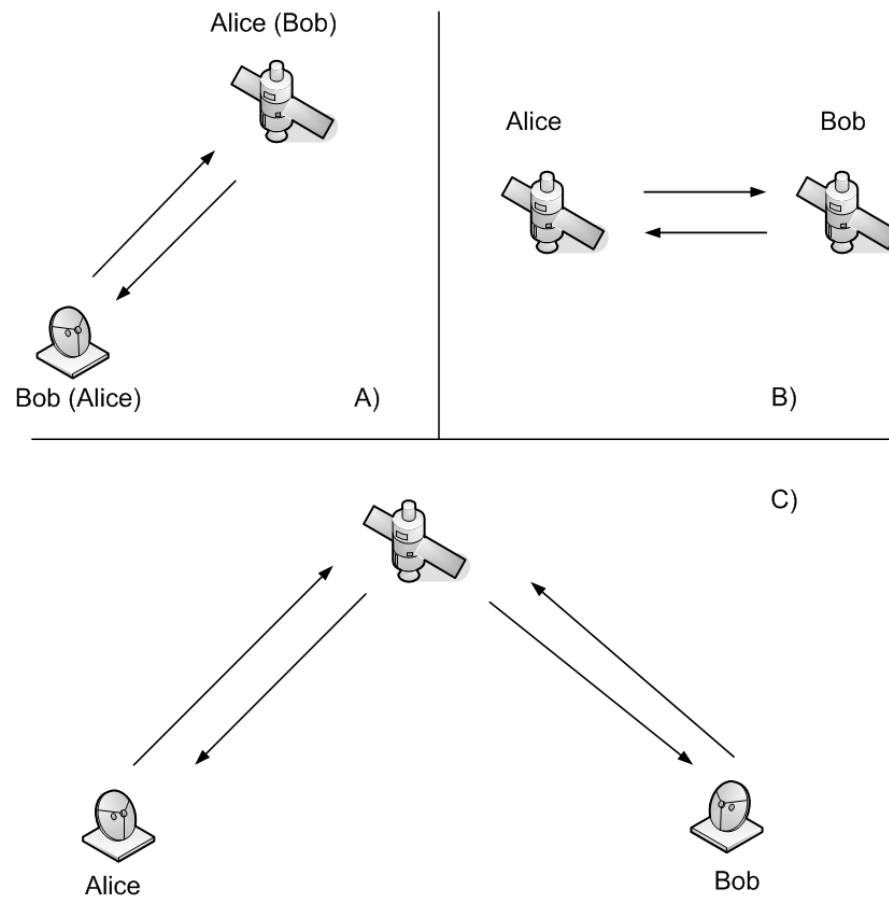


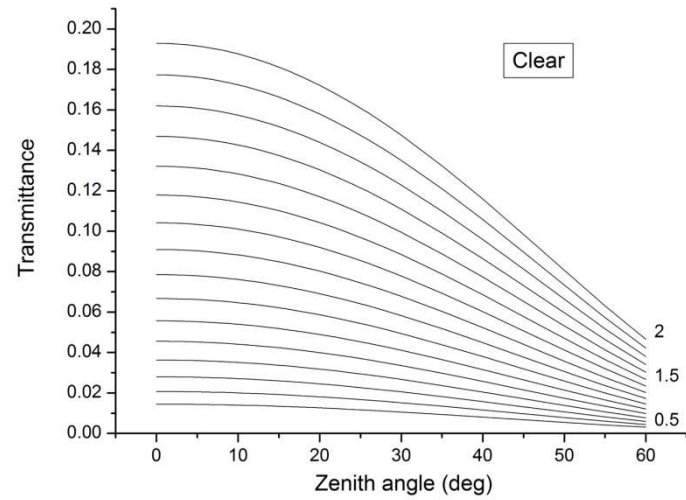
# BB84 protokoll



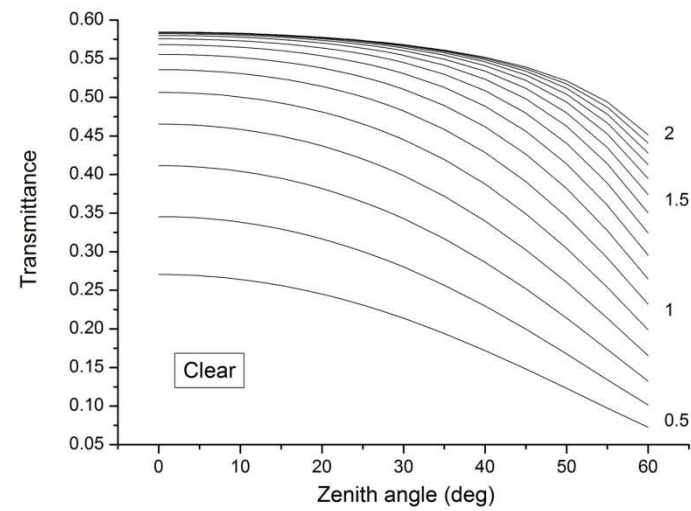
<http://www.cse.wustl.edu/~jain/cse571-07/ftp/quantum/index.html>  
 Charles H. Bennett, Gilles Brassard, 'Quantum Cryptography: Public Key Distribution and Coin Tossing', International Conference on Computers, Systems & Signal Processing, Bangalore, India (December 10-12, 1984)

# Irány az űr





A

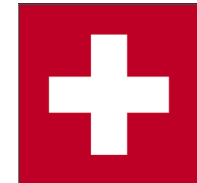


B

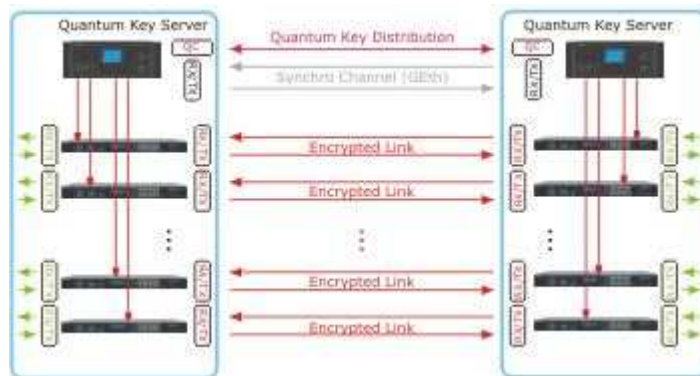


# Cégek

- D-wave :
  - Kanadai cég
  - 1999-ben alapították
  - Állításuk szerint kvantumszámítógépet árulnak
- IdQuantique
  - Svájci cég
  - Senatas-al együttműködésben
  - 2001 óta létezik, University of Geneva Spinoff
  - Kvantum kulcsszétosztás, randomszám generálás
- MagiQ Technologies
  - Amerikai
  - 1999-ben alapították
  - Kvantum kulcsszétosztás
- Quintessence Labs
  - Amerikai-ausztrál együttműködés
  - Kulcsszétosztás, randomszám generálás



# Id Quantique



## Cerberis

- Hibrid rendszer
- Kvantum:
  - BB84
  - SARG
- Klasszikus:
  - AES (Advanced Encryption Standard) 256-bit
  - CFB mode (1 Gbps-ig)
  - CTR mode (10 Gbps-ig)
- Dark fiber vagy wavelength-division multiplexing (WDM) kábel
- 50 km-ig (kérésre 100 km)
- Prototípus 250 km-ig

# Id Quantique



USB



PCI



PCI Express



OEM

## Quantis

- Kvantum alapú randomszám generátor
- USB
  - 4 Mbits/sec
- PCI Express (PCIe) kártya
  - 4 Mbits/sec
- PCI kártya
  - 4 Mbits/sec
  - 16 Mbits/sec
- OEM (Original Equipment Manufacturer)
  - 4 Mbits/sec

# MagiQ



## Q-Box Workbench

- Point-to-point kommunikáció optikai és ethernet kábelen
- Hibrid rendszer
- BB84
- 3DES, AES
- Kulcsfrissítés 1000 bit/s-ig
- 50 km maximális linktávolság
- Valódi random szám generátor



From Computer Desktop Encyclopedia  
© 2005 MagiQ Technologies



# MagiQ



## QPN 8505 Security Gateway

- Multi-Site Network Security
- Másodpercenként 100-szor frissíthető 256 bites kulcsok
- Intrusion Detection
- Hibrid rendszer
- BB84
- 3DES, AES

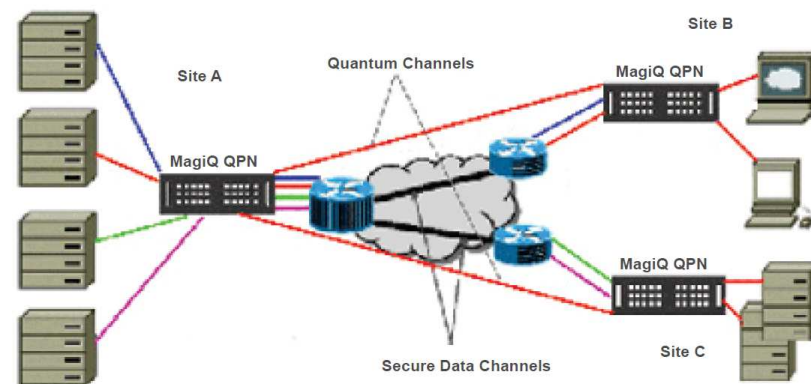
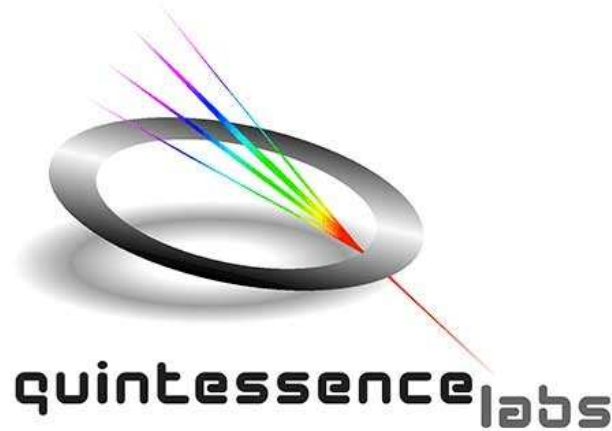


Figure 2: MagiQ QPN Security Gateway: Multi-Site Network Security

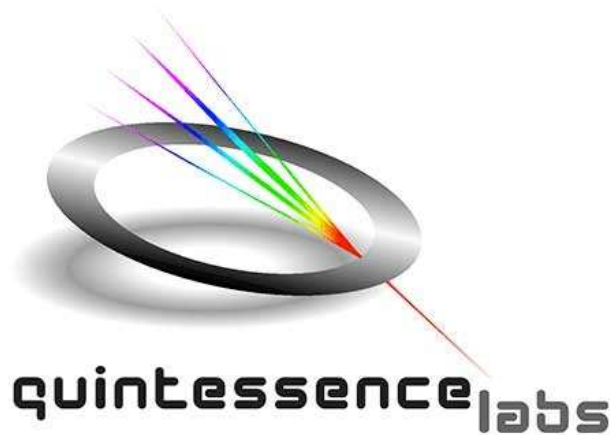
# Quintessence Labs



## Quantum Key Distribution

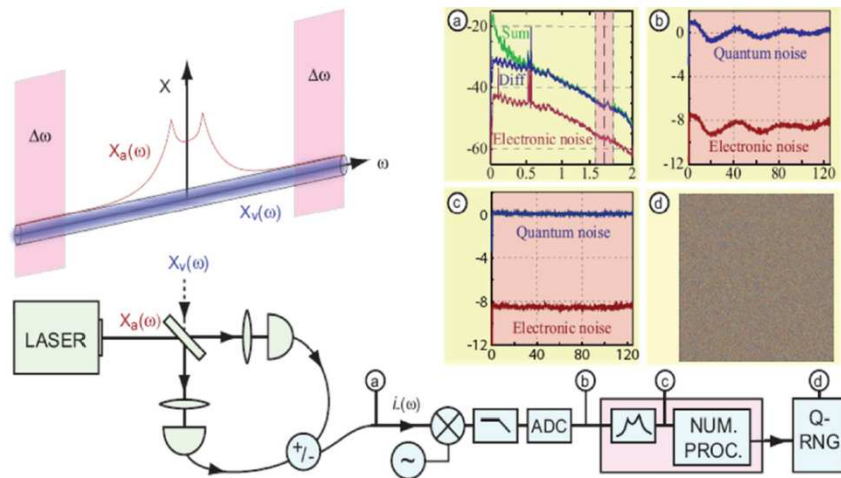
- One time pad
- Optikai szál és free space
- 100 km-ig
- 28e optikai szálat használnak (SMF-28e 1270 nm és 1610 nm között 20 nm csatornaszélességgel)
- Titkos kulcsok generálása 10 Mbit/s-al

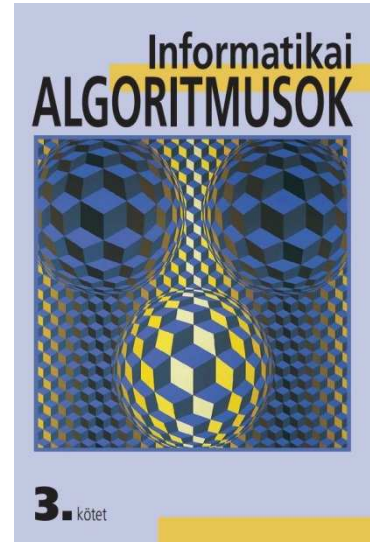
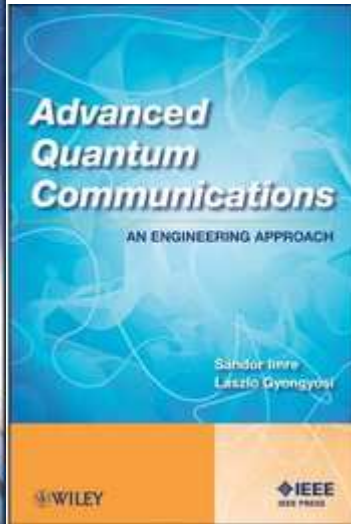
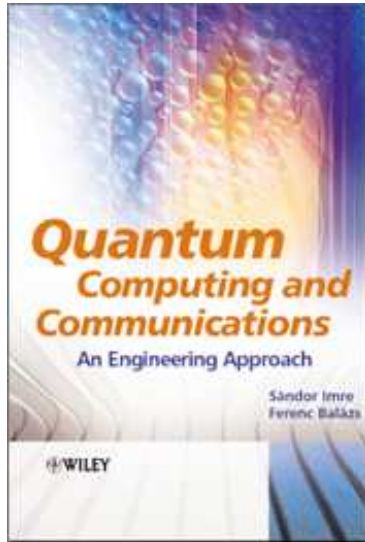
# Quintessence Labs



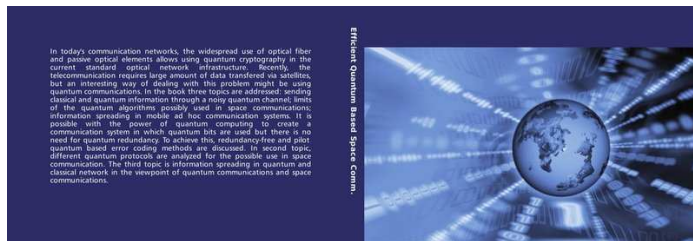
## Random Number Generator

- Véletlen szám generálás 1 Gbit/s-tól 10 Gbit/s-ig
- Raw (Gaussian) eloszlás
- Conditioned (Uniform) eloszlás





qnews levelezőlista



**Laszlo Bacardi**  
The author obtained Ph.D. at the Budapest University of Technology and Economics, Hungary. He is now Associate Professor and the Head of the Institute of Informatics and Economics at the University of West Hungary, Sopron, Hungary. His current research interests are in mobile ad hoc communication, quantum computing and quantum communications.



978-3-659-36860-8

Bacardi



**Efficient Quantum Based  
Space Communications**

Classical and Quantum Based Information Transfer  
and Dissemination in Space Communications

Laszlo Bacardi

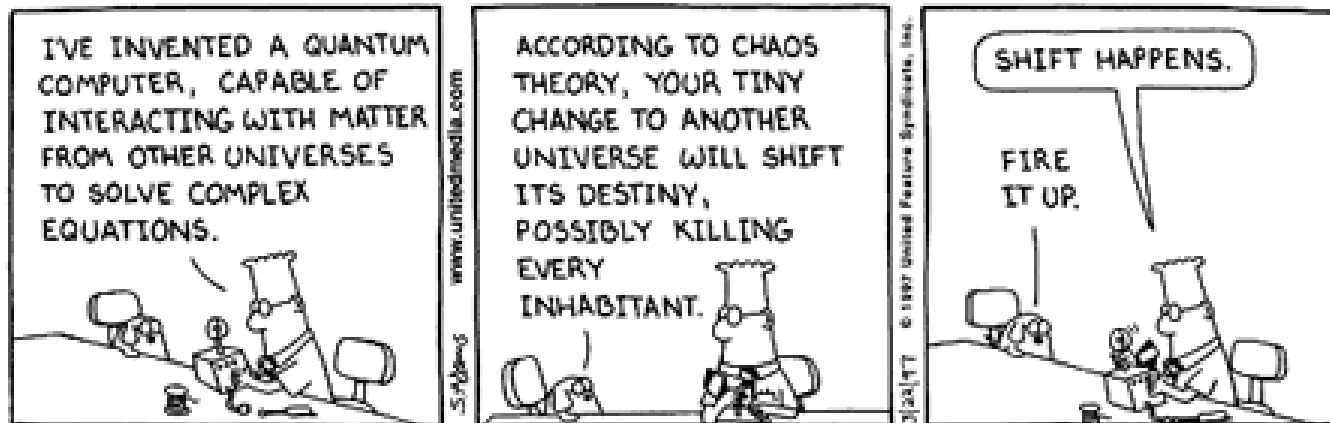
BME Hálózati Rendszerek és Szolgáltatások Tanszék  
<http://www.mcl.hu/quantum/>

MTA WFI Kvantumoptikai és Kvantuminformatikai Osztály  
<http://optics.szfki.kfki.hu/>

Publikációk angolul:  
<http://arxiv.org/archive/quant-ph>



# Kérdések?



Copyright © 1997 United Feature Syndicate, Inc.  
Redistribution in whole or in part prohibited

bacsardi@hit.bme.hu